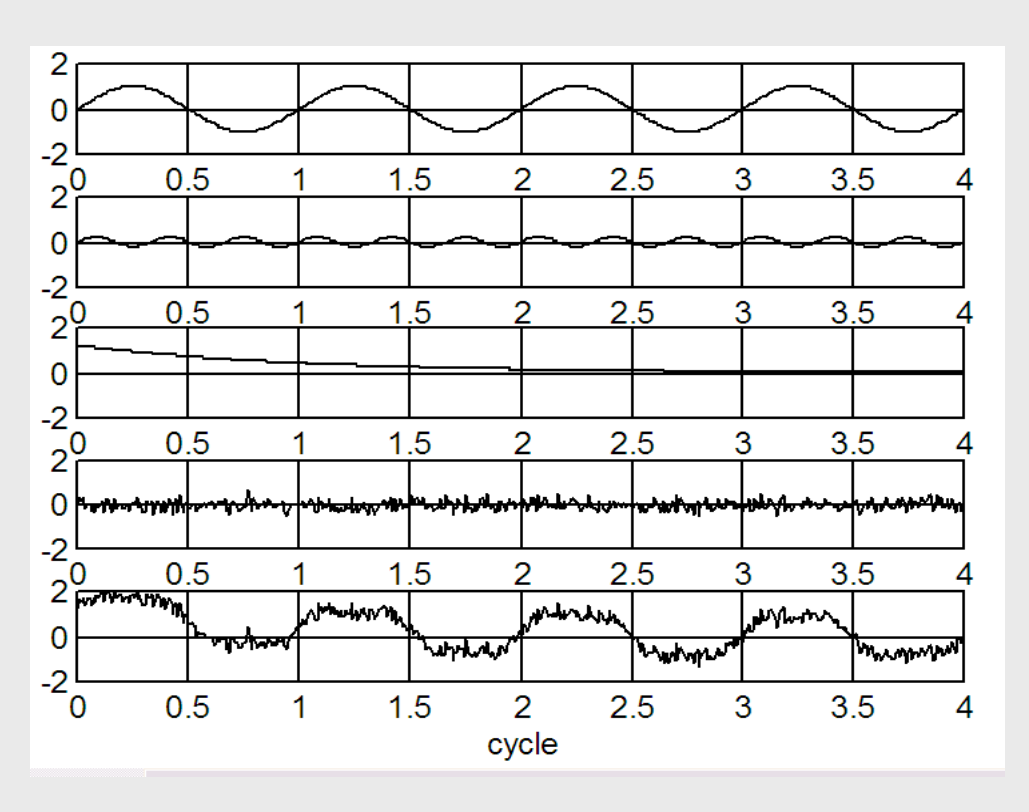


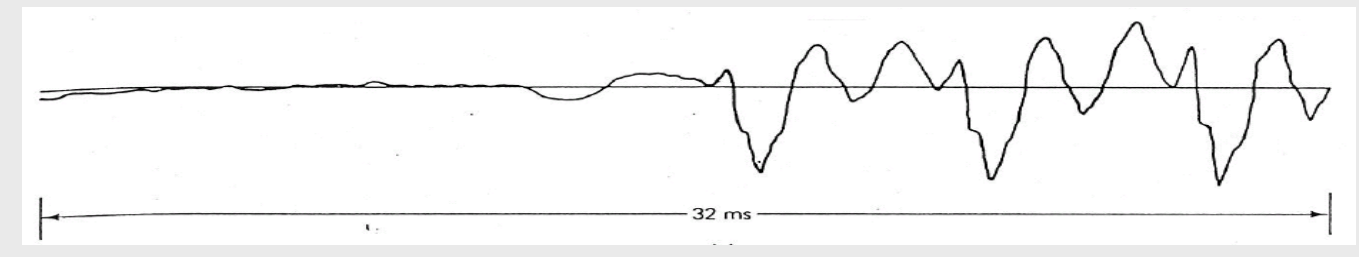
Procesamiento Digital de Señales

Representación, transformación y manipulación de señales.

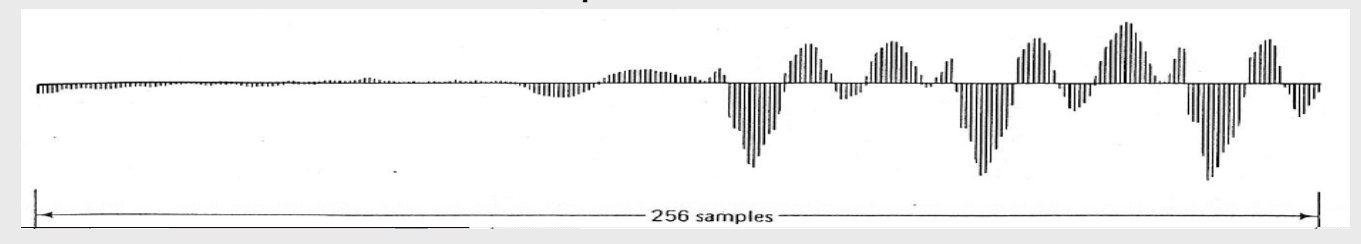


Tipos de señales

Señales continuas en el tiempo o analógicas



Señales discretas en el tiempo



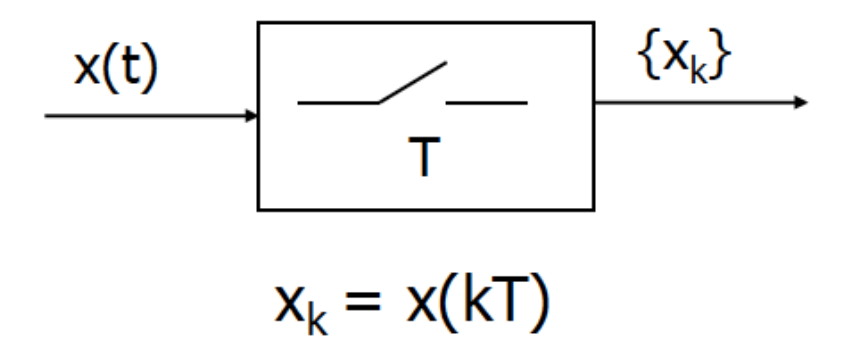
Secuencias

$$x[n] = x_c(nT)$$
 $f_s = 1/T$ Frecuencia de muestreo

Tipos de señales

Muestreo

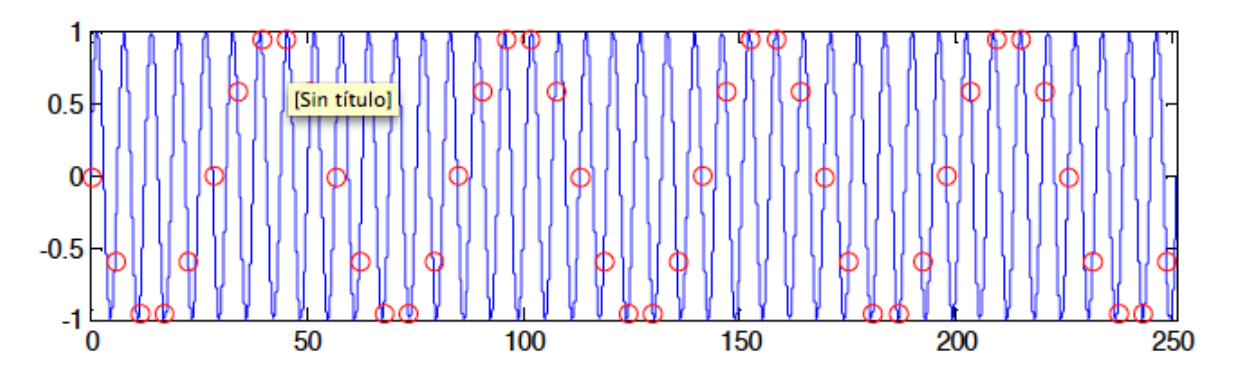
En esta operación se obtiene una **secuencia** de valores a partir de una **señal** analógica.



Tipos de señales

Muestreo. Aliasing

Cuando la frecuencia de Nyquist ($\omega_{\rm m}/2$) es inferior a la frecuencia de la señal muestreada ($\omega_{\rm 0}$), se produce el fenómeno conocido como *aliasing*, según el cual una señal de alta frecuencia es interpretada como una de baja frecuencia.



Secuencias

Operaciones con secuencias

Producto de secuencias:

$$x[n] \bullet y[n]$$

Suma:

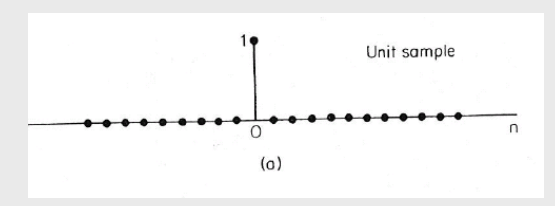
$$x[n] + y[n]$$

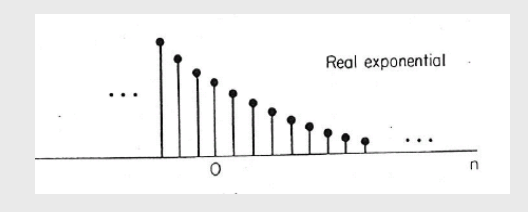
Producto escalar: $\alpha \bullet x[n]$

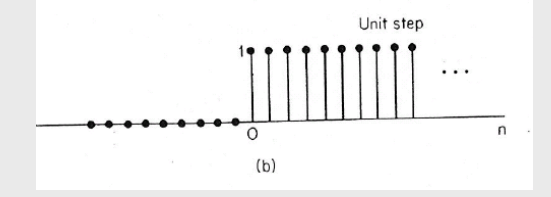
$$\alpha \bullet x[n]$$

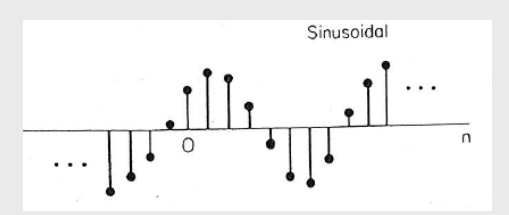
Corrimiento o retardo:
$$y[n] = x[n-n_o]$$

Secuencias Básicas



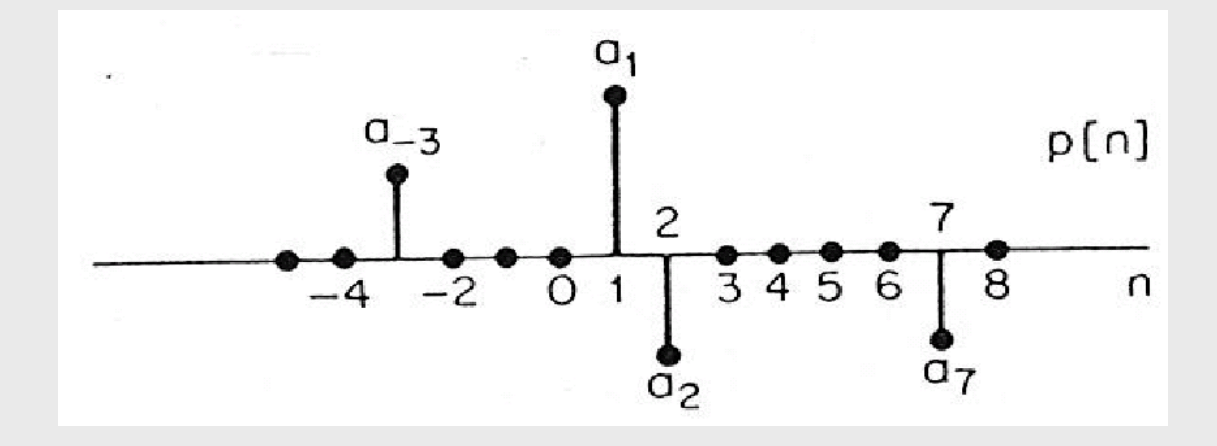






Representación de secuencias por impulsos

$$p[n] = a_{-3} \delta[n+3] + a_1 \delta[n-1] + a_2 \delta[n-2] + a_7 \delta[n-7]$$

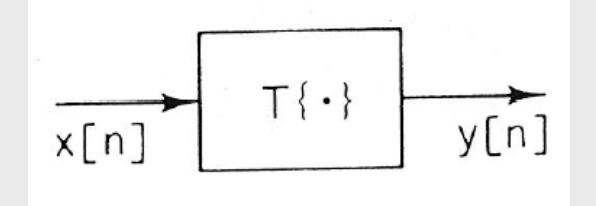


En general:

$$x[n] = \sum_{k=-\infty}^{\infty} x[k] \delta[n-k]$$

Sistemas discretos

$$y[n] = T \{x[n]\}$$

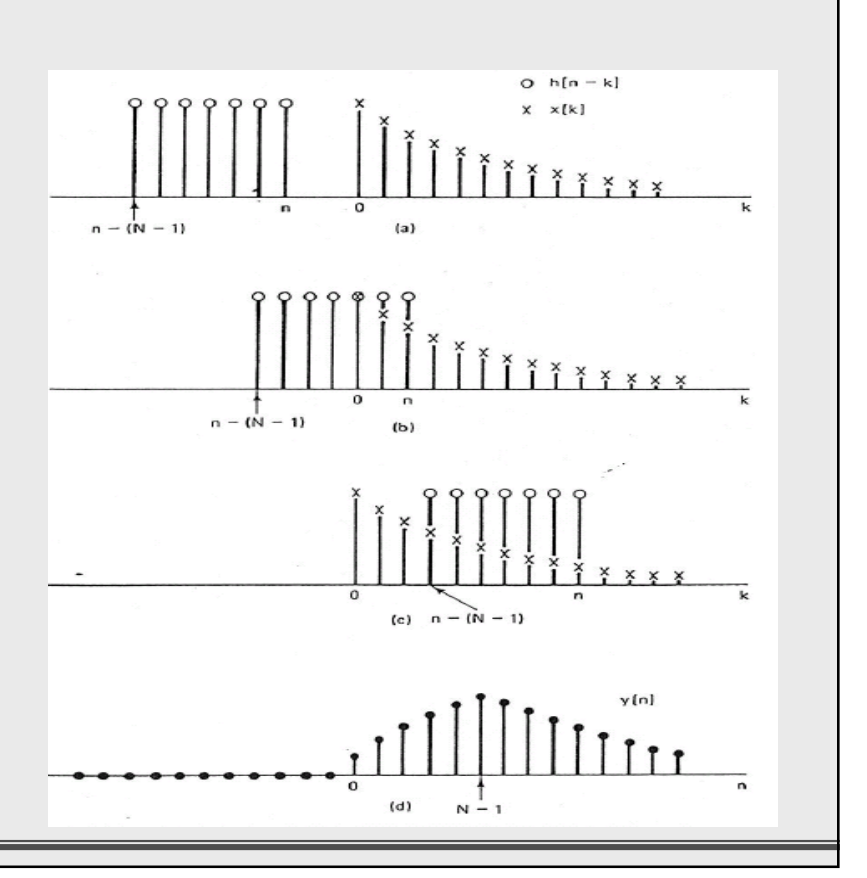


La respuesta del sistema al impulso

$$h_k[n] = \delta[n-k]$$

$$y[n] = \sum_{k=-\infty}^{\infty} x[k] h[n-k]$$

$$y[n] = x[n] * h[n]$$

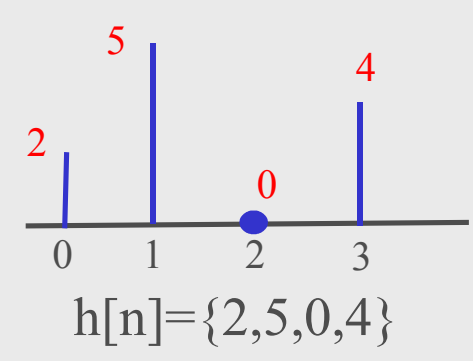


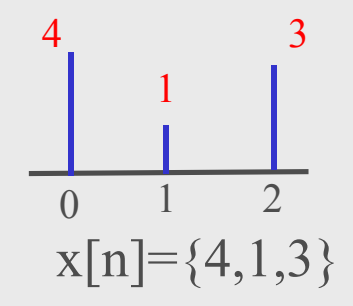
En la práctica se trabaja con secuencias de longitud finita. Para hacer la convolución, una de las secuencias se refleja y se desplaza sucesivamente.

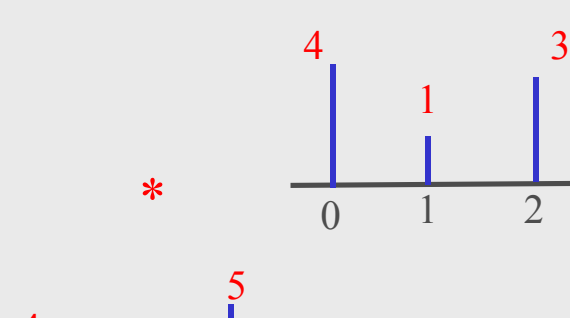
El índice del comienzo de la convolución es la suma de los índices de comienzo de las respectivas señales. Si las dos señales comienzan en $n=n_0$ y $n=n_1$, la convolución comienza en $n=n_0+n_1$.

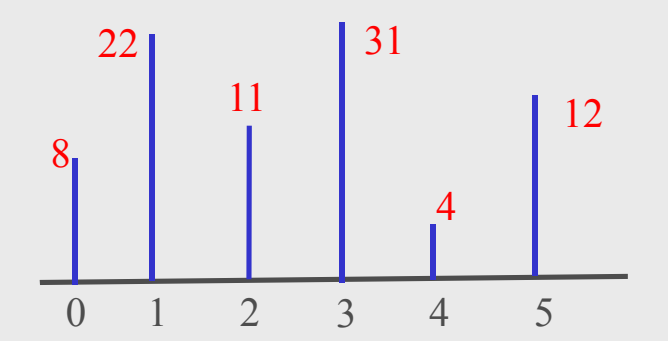
Métodos para calcular la convolución a partir de dos secuencias

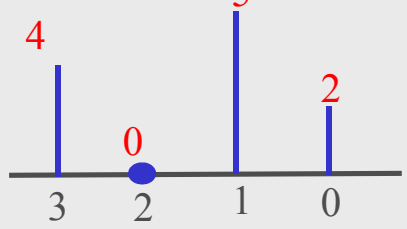
- Método de la tira deslizante
- Método de las Suma por Columnas
- Método de la malla











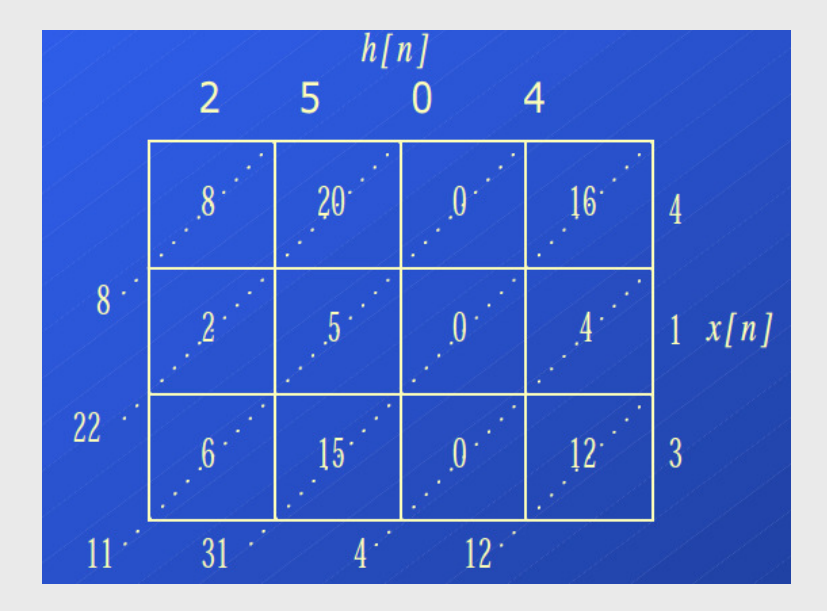
Método de las Suma por Columnas

Hacemos el mismo ejemplo. No es necesario "reflejar" una de las secuencias.

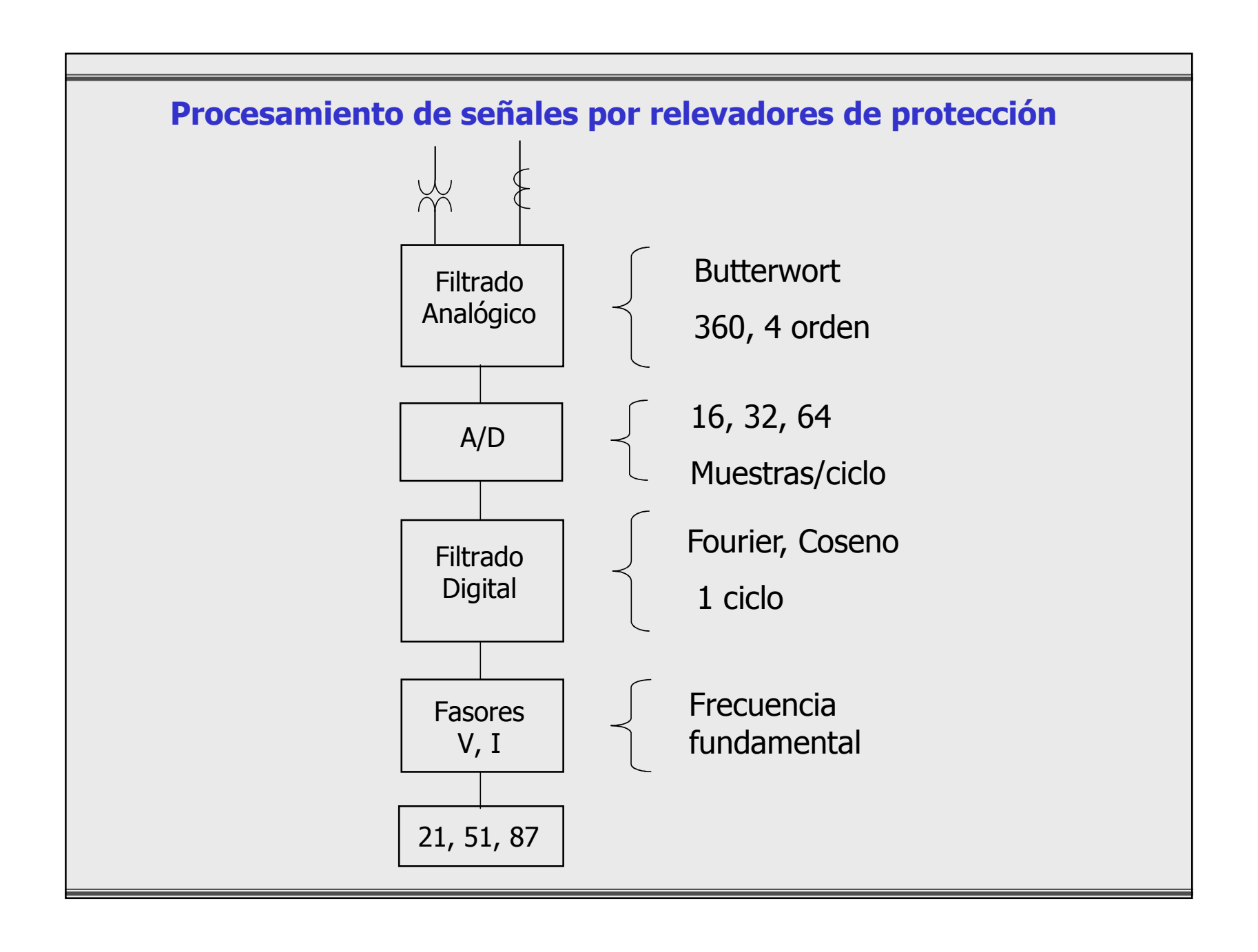
n	0	1	2	3	4	5
h	2	5	0	4		
x	4	1	3			
	8	20	0	16		
		2	5	0	4	
			6	15	0	12
y	8	22	11	31	4	12

$$y[n] = \{8,22,11,31,4,12\}, n=0,1,2,...,5$$

Método de la malla

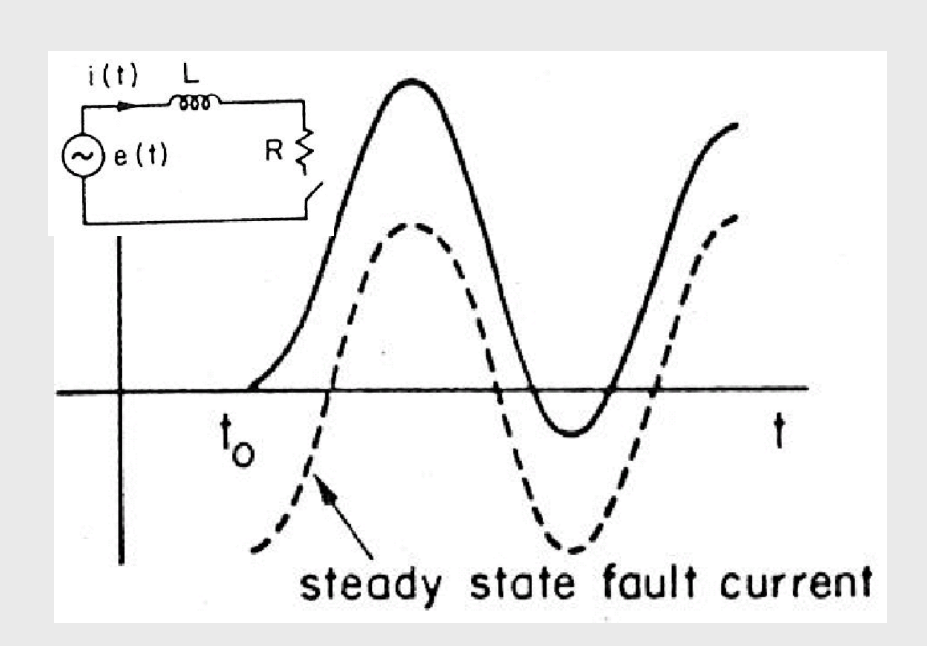


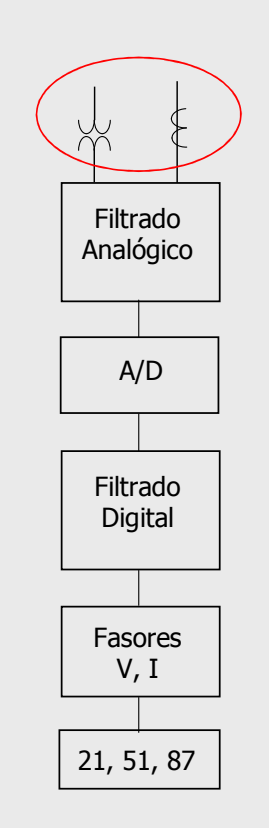
 $y[n] = \{8,22,11,31,4,12\}, n=0,1,2,...,5$

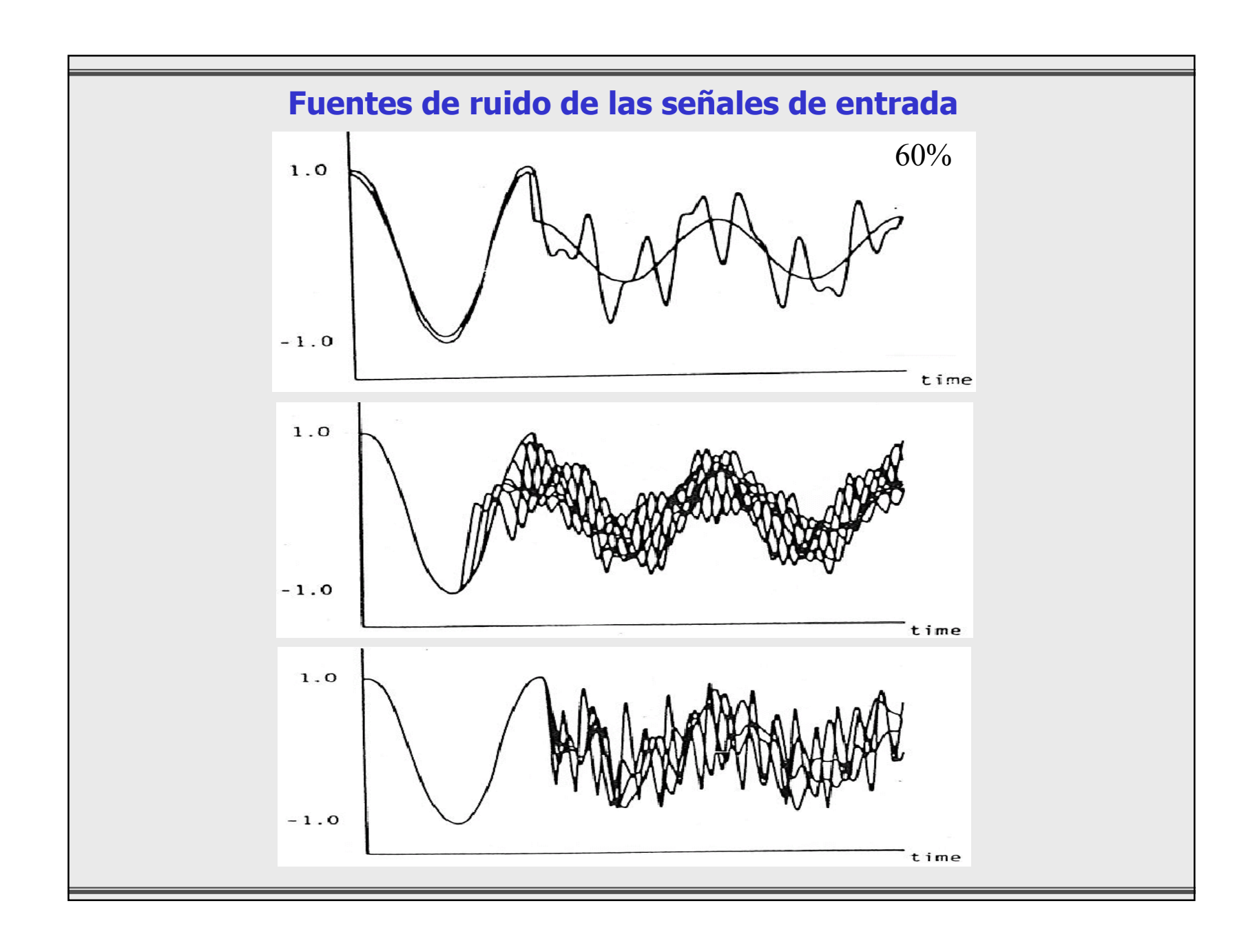


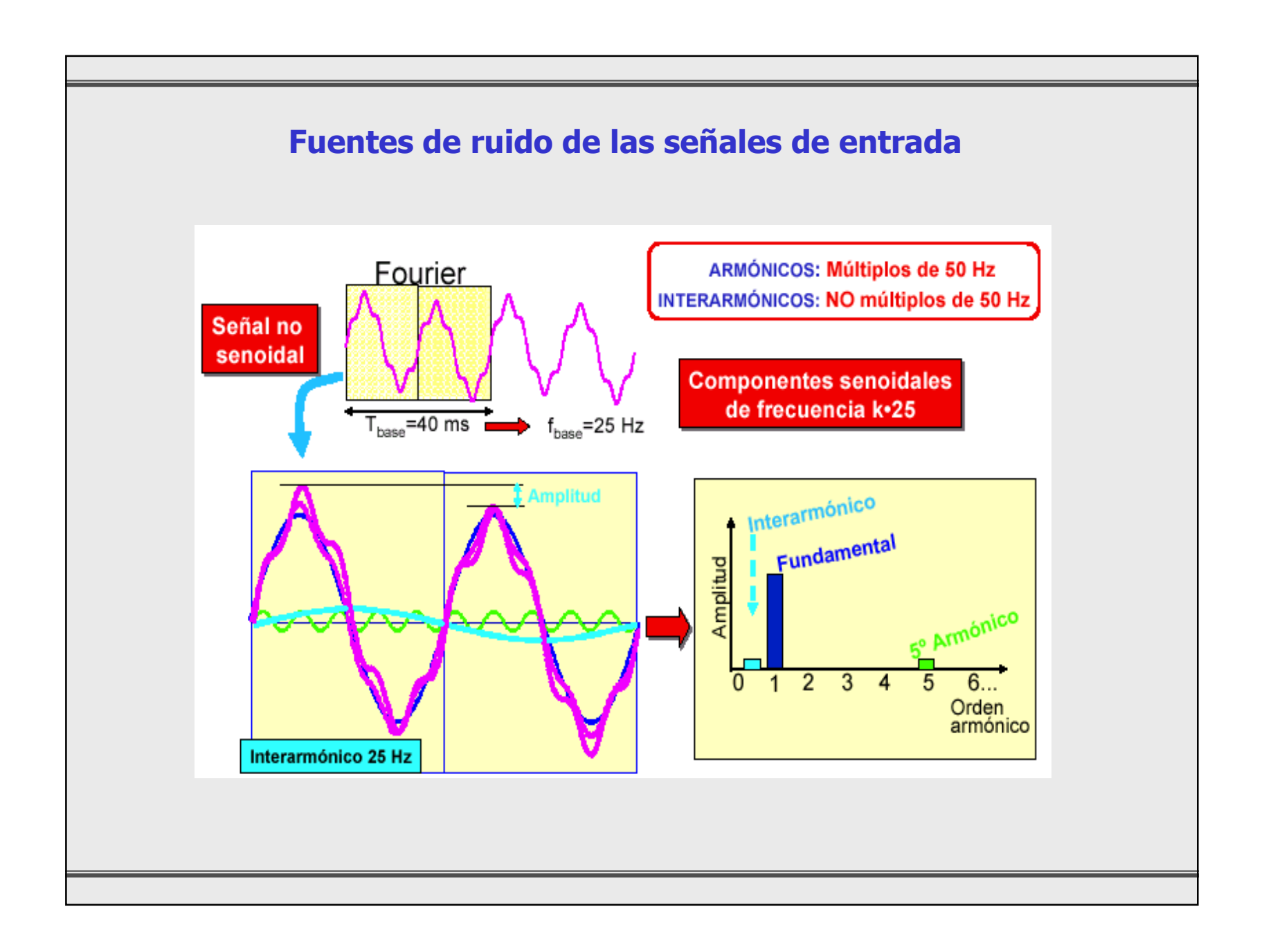
Fuentes de ruido de las señales de entrada

- Componentes aperiódicas exponenciales
- Oscilaciones amortiguadas de alta frecuencia
- Oscilaciones subarmónicas
- Armónicas



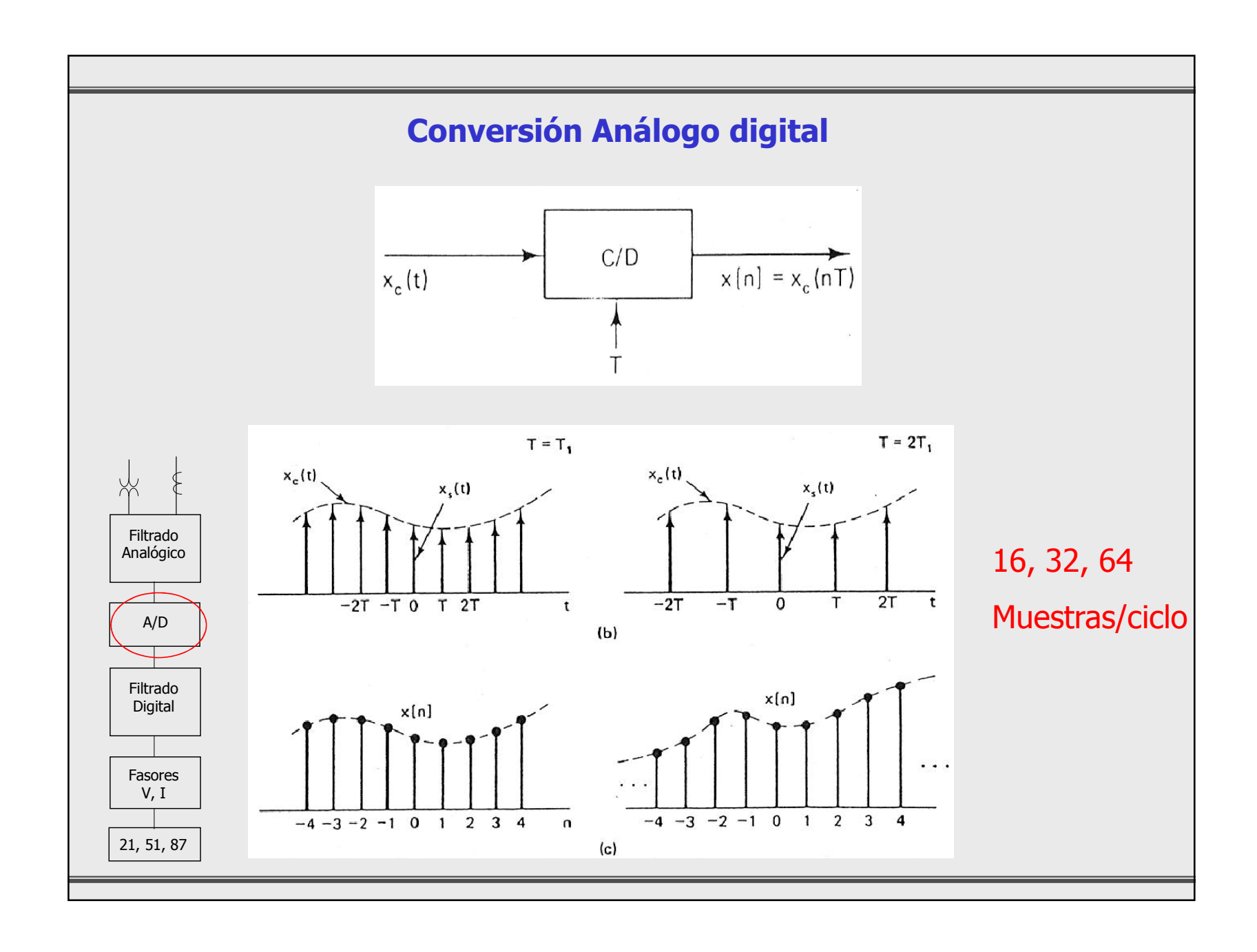






Filtrado analógico Características deseables de los filtros • Respuesta adecuada en la banda de paso • Rechazo de armónicas **Butterwort** Filtrado • Velocidad de respuesta 360 Hz, 4 orden Analógico • Facilidad de diseño y construcción Banda de Paso A/D C11 0.082uF Filtrado Digital C22 —— 0.01uF C12 _____ 0.01uF Fasores V, I 21, 51, 87

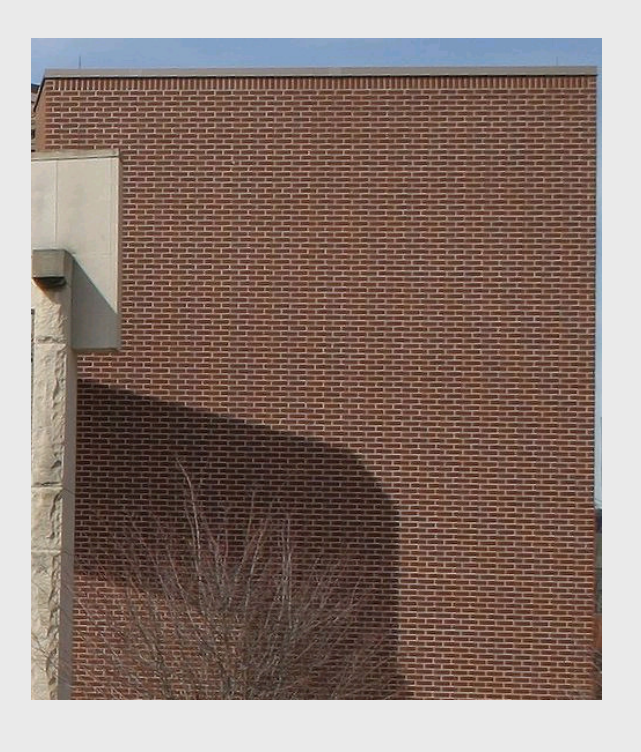
Banda de Parada



Teorema de muestreo

Teorema de Nyquist $\omega_s > 2 \omega_M$

$$\omega_s > 2 \omega_M$$





Filtros digitales

Tipos de Filtros

- Filtros de respuesta impulsiva finita (FIR)
 Su salida depende de una historia finita en tiempo de la señal de entrada
- Filtros de respuesta impulsiva infinita (IIR)
 Su salida depende de toda la historia previa de la señal de entrada

Filtrado Analógico

A/D

Filtrado Digital

Fasores V, I

21, 51, 87

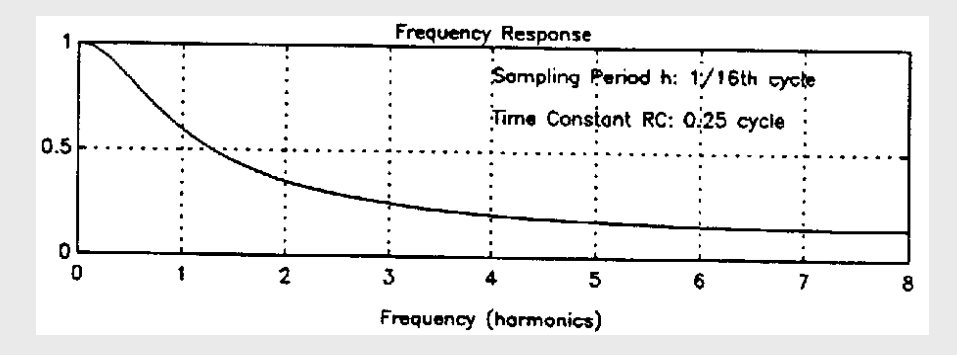
Los filtros FIR son mas adecuados para protección por dos razones:

- Dejan de tener en cuenta rápidamente la condición de prefalla y se concentran en analizar las señales correspondientes a la falla
- Tienen ceros naturales en sus respuestas de frecuencia, que pueden colocarse por diseño en la cd y armonicas

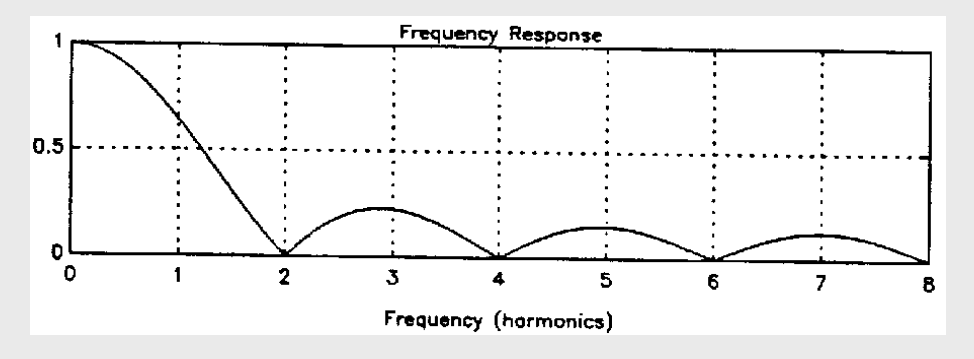
Filtros digitales

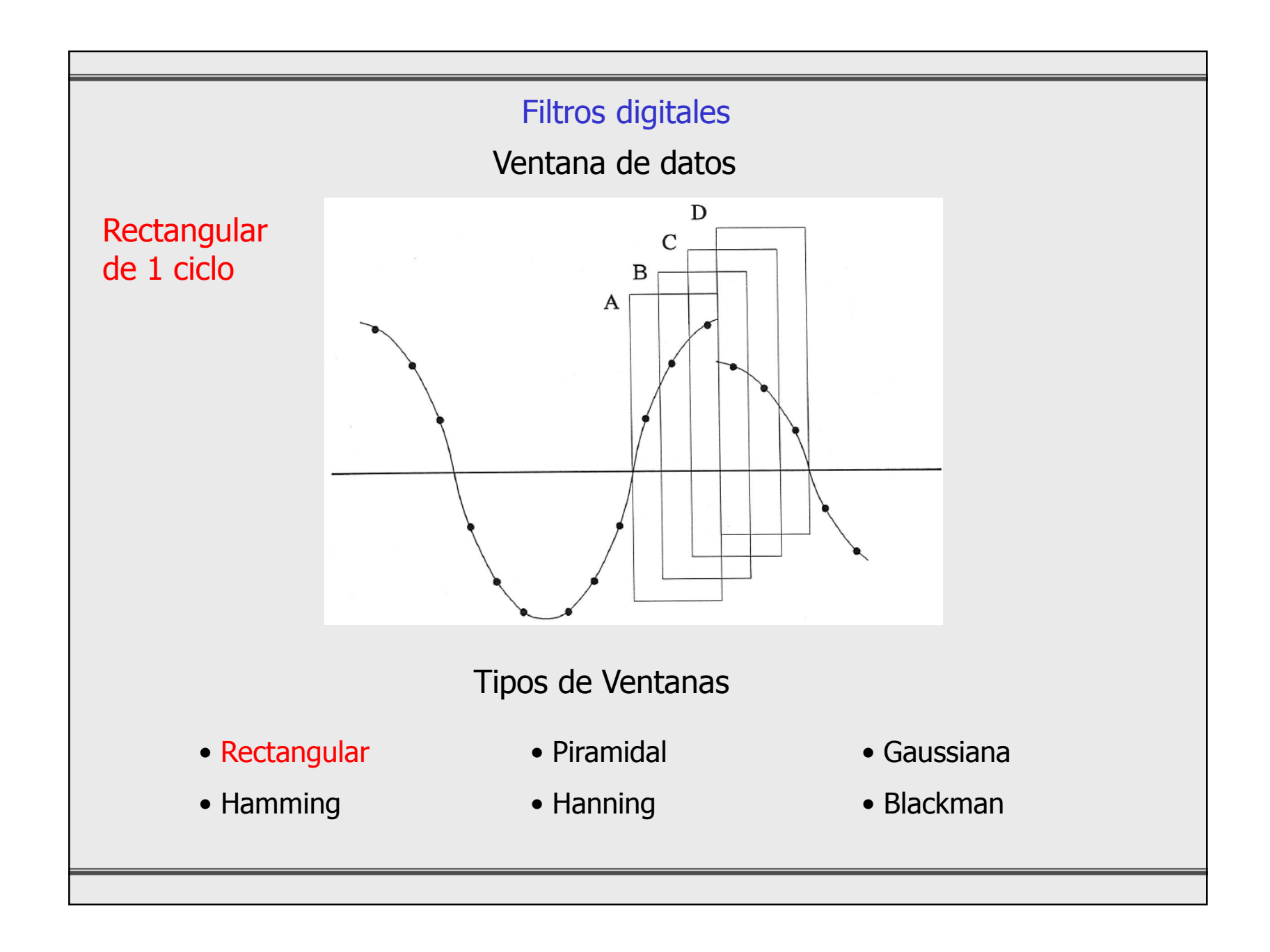
Tipos de Filtros

• Filtros de respuesta impulsiva infinita (IIR)



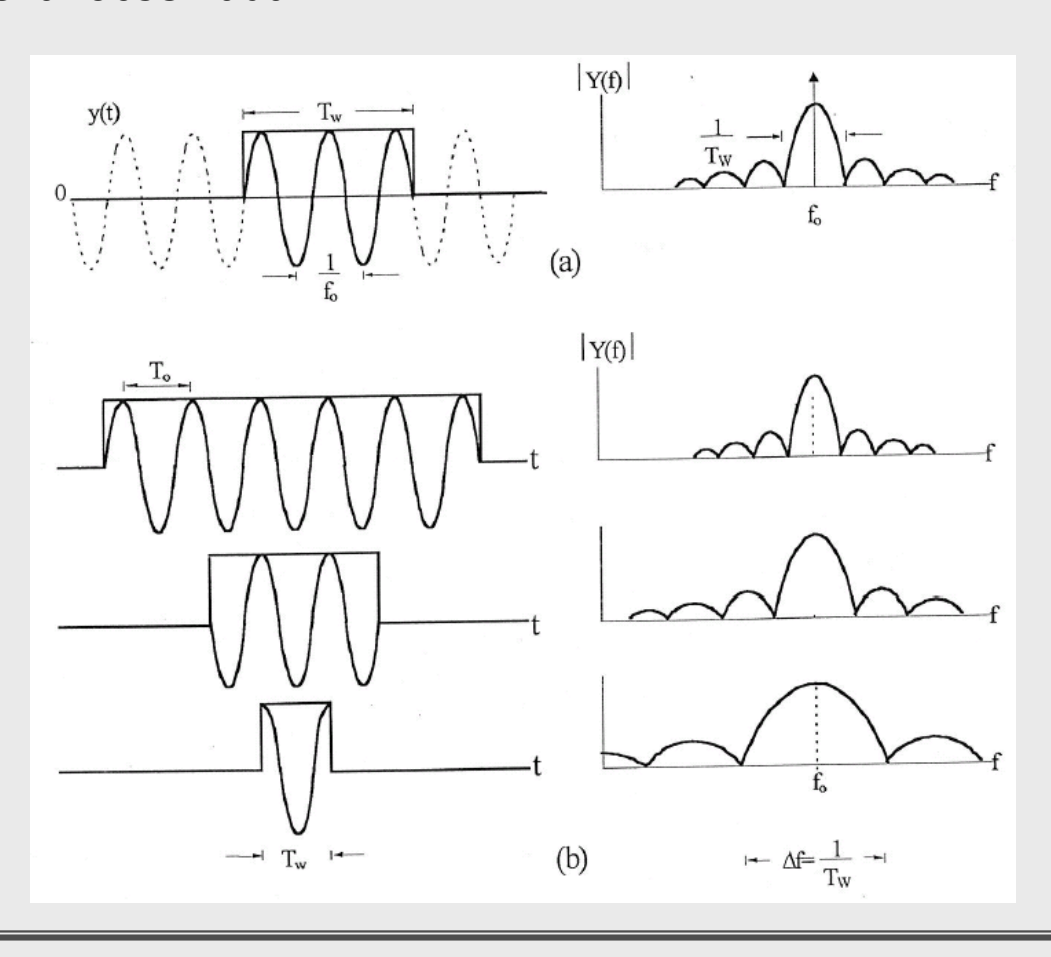
• Filtros de respuesta impulsiva finita (FIR)





Filtros digitales

Efecto de la ventana de datos sobre el espectro de la señal observada



Fourier

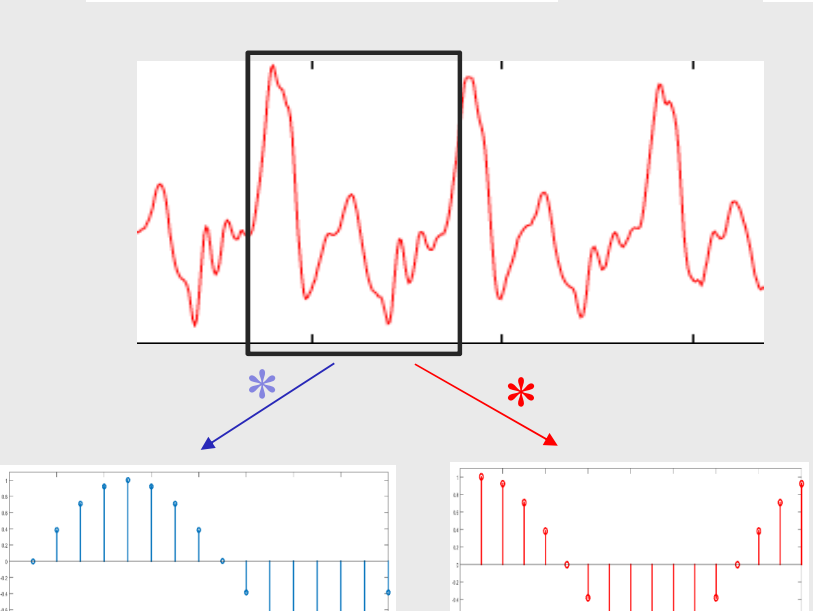
$$y(t) = \int_0^t x(\tau)e^{jw\tau}d\tau$$

$$Y_c = \int_0^T x(t) \cos(wt) dt$$

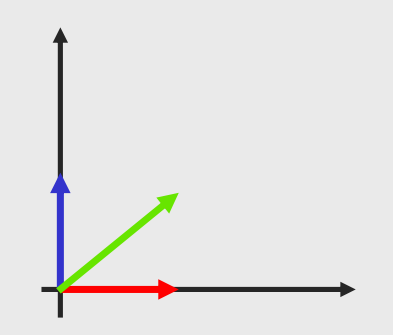
$$Y_s = \int_0^T x(t) sen(wt) dt$$

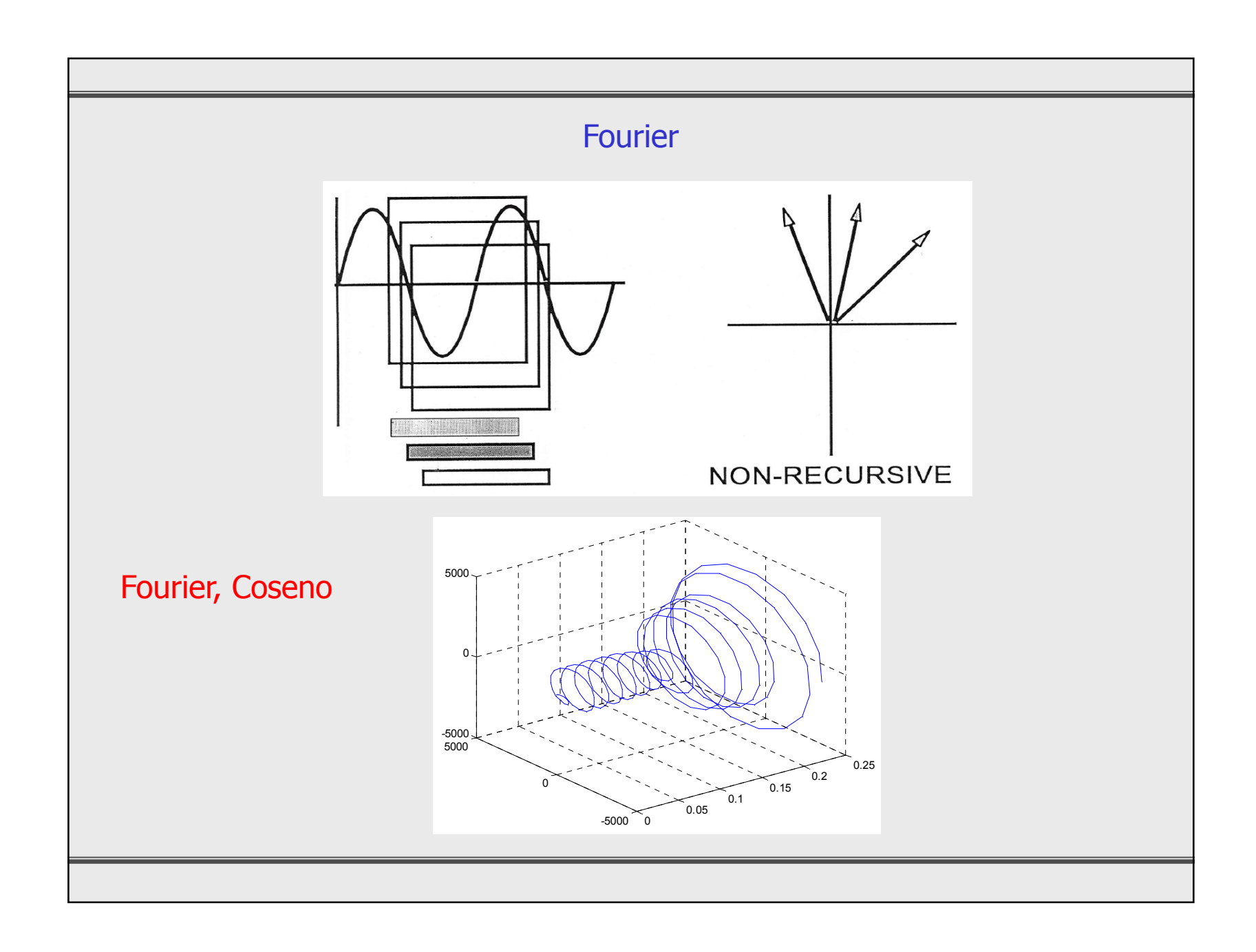
$$Y_c^{(i)} = \frac{2}{K} \sum_{k=1}^{K} x_k \cos(k\theta)$$

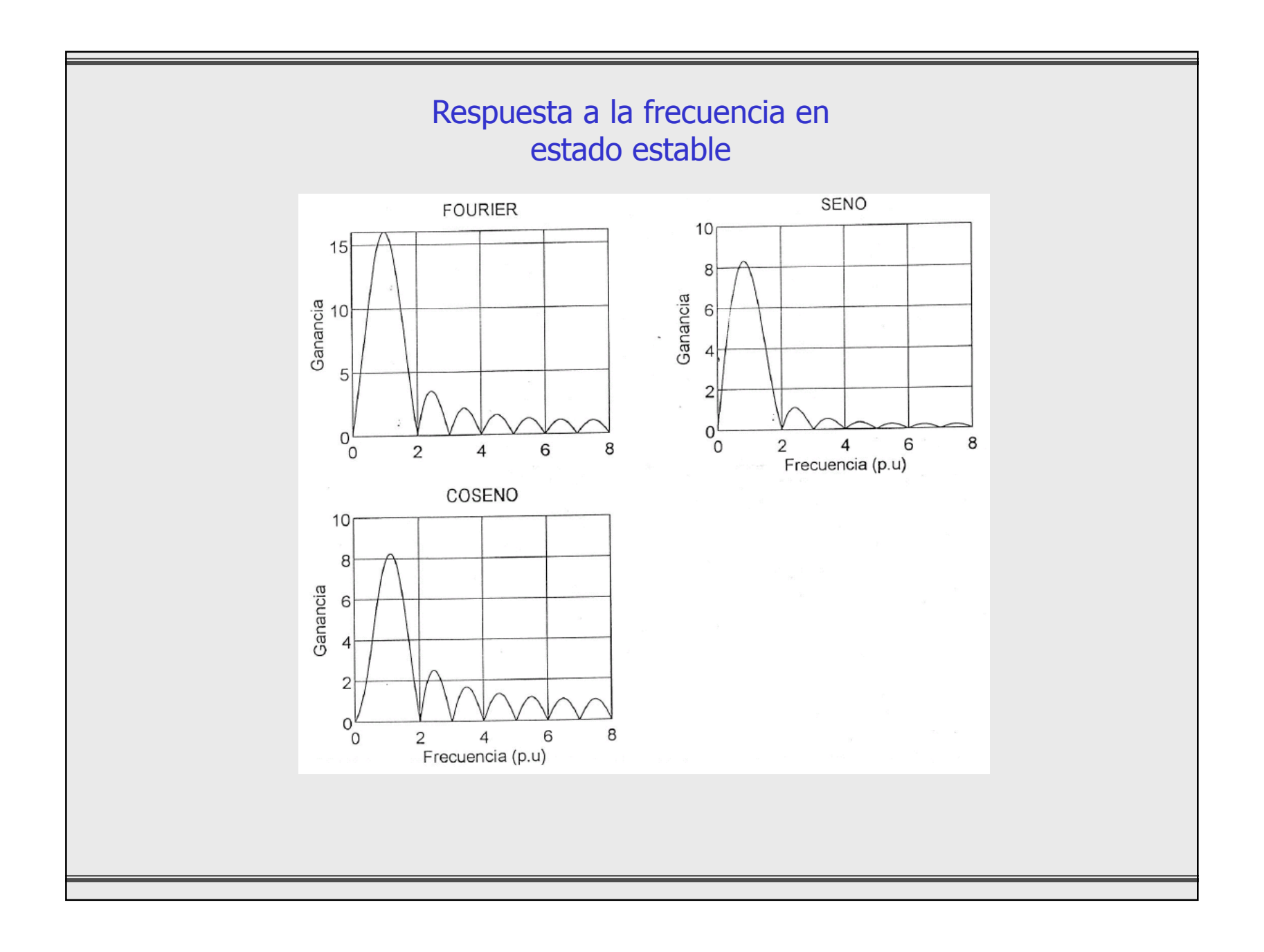
$$Y_s^{(i)} = \frac{2}{K} \sum_{k=1}^{K} x_k \operatorname{sen}(k\theta)$$

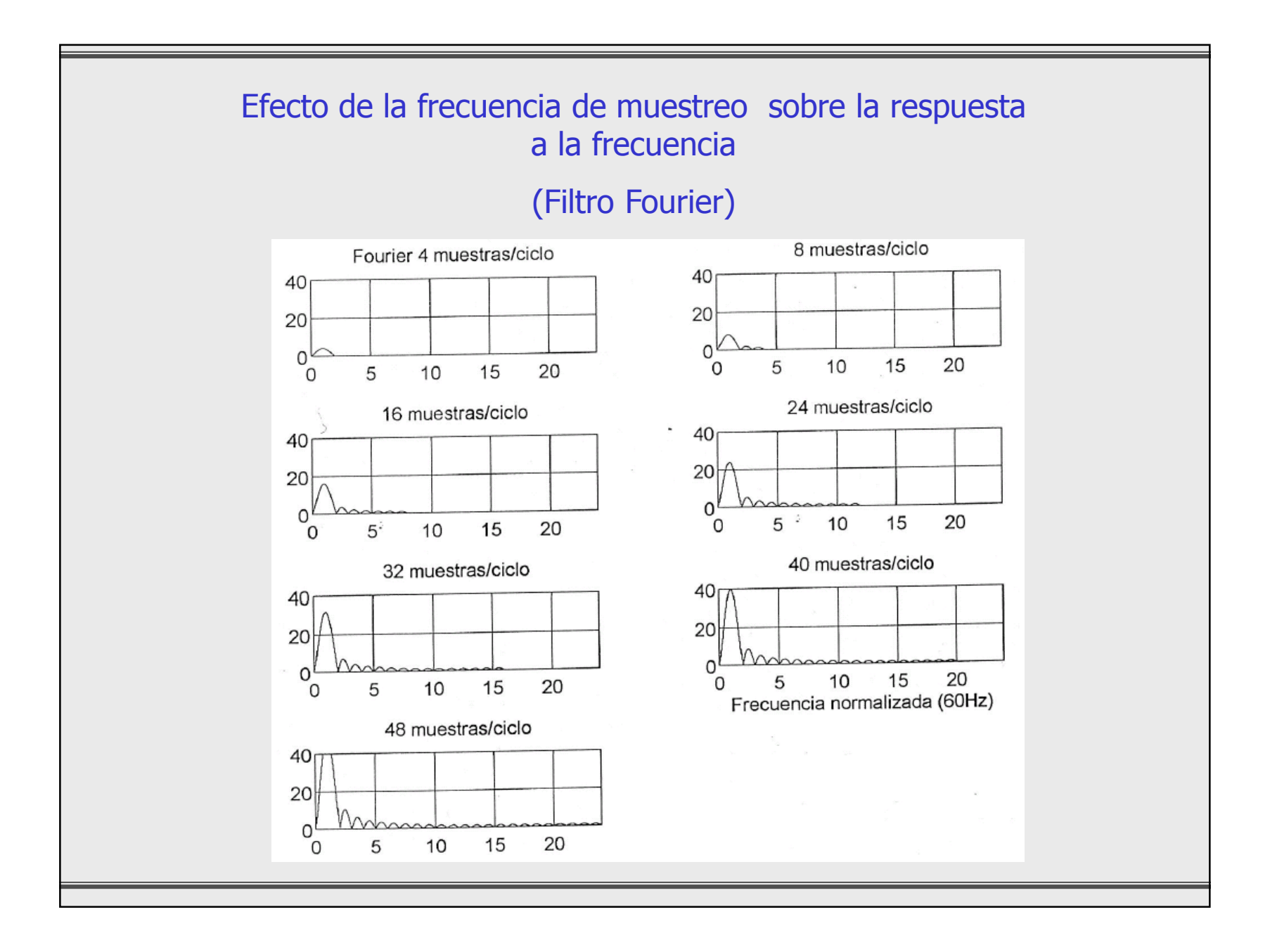


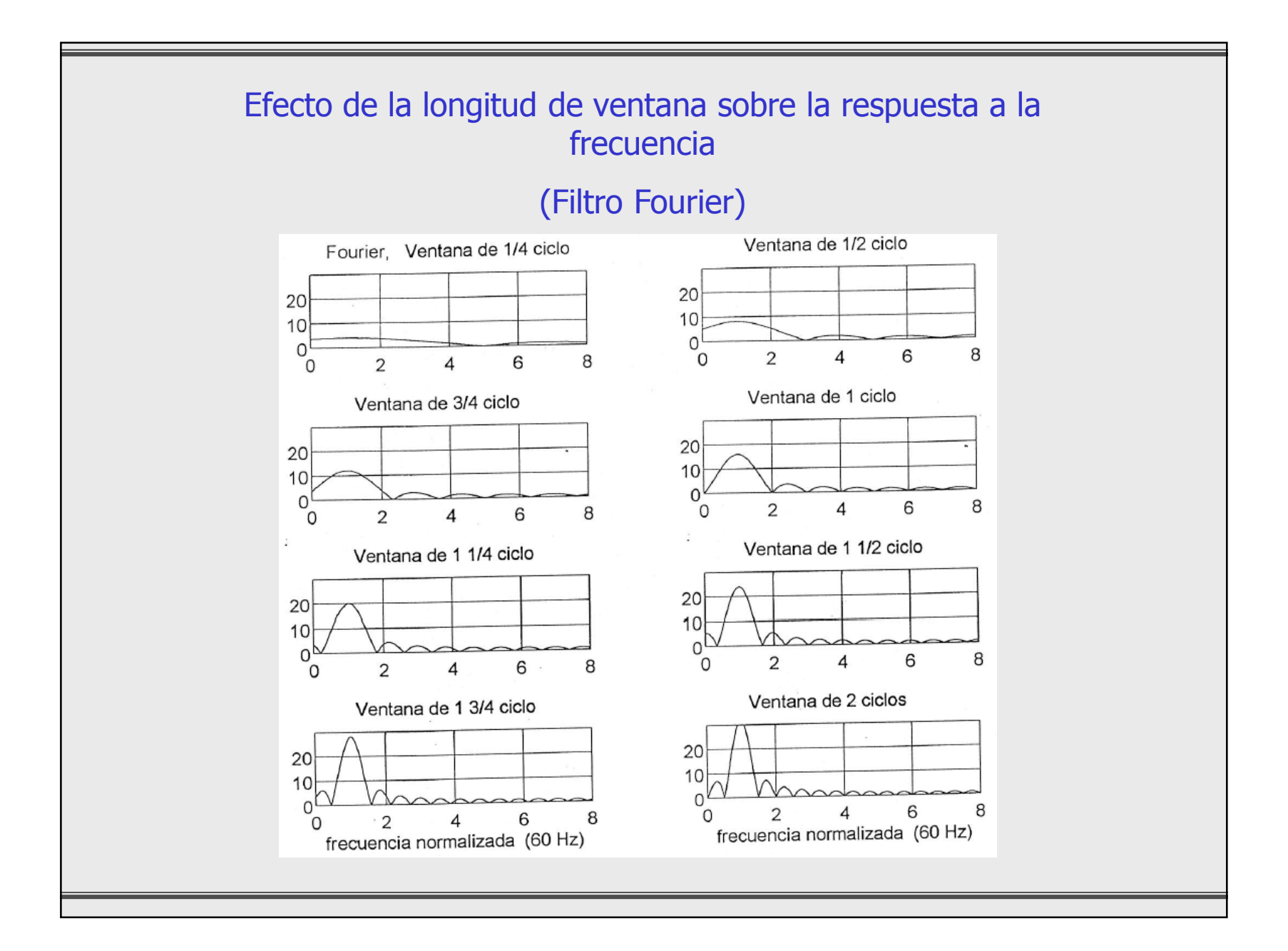
$$\begin{aligned} \left| Y^{(i)} \right| &= \sqrt{\left[Y_c^{(i)} \right]^2 + \left[Y_s^{(i)} \right]^2} \\ \varphi^{(i)} &= \arctan \frac{Y_s^{(i)}}{Y_c^{(i)}} = \arctan \frac{Y_s}{Y_c} - \theta i \end{aligned}$$

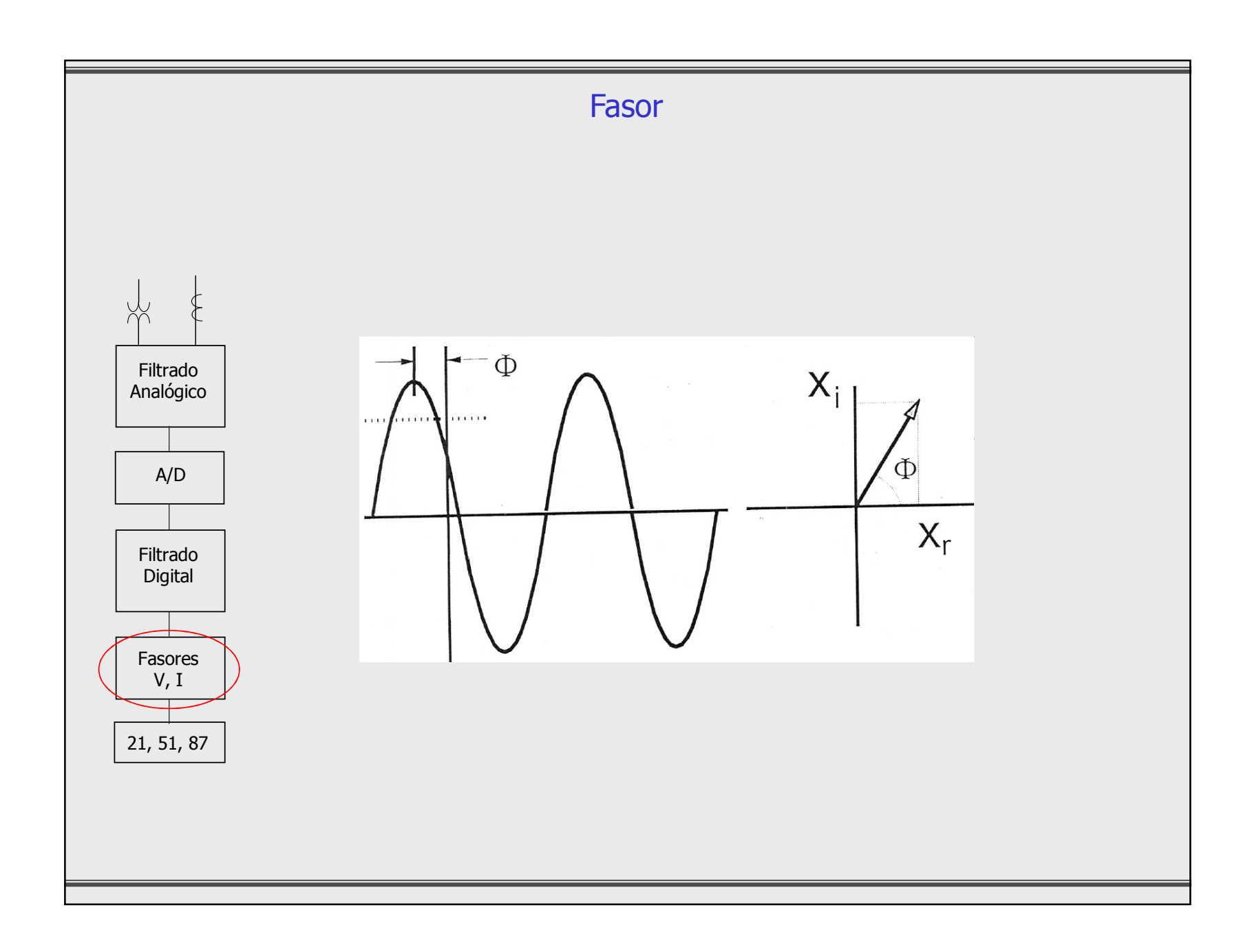


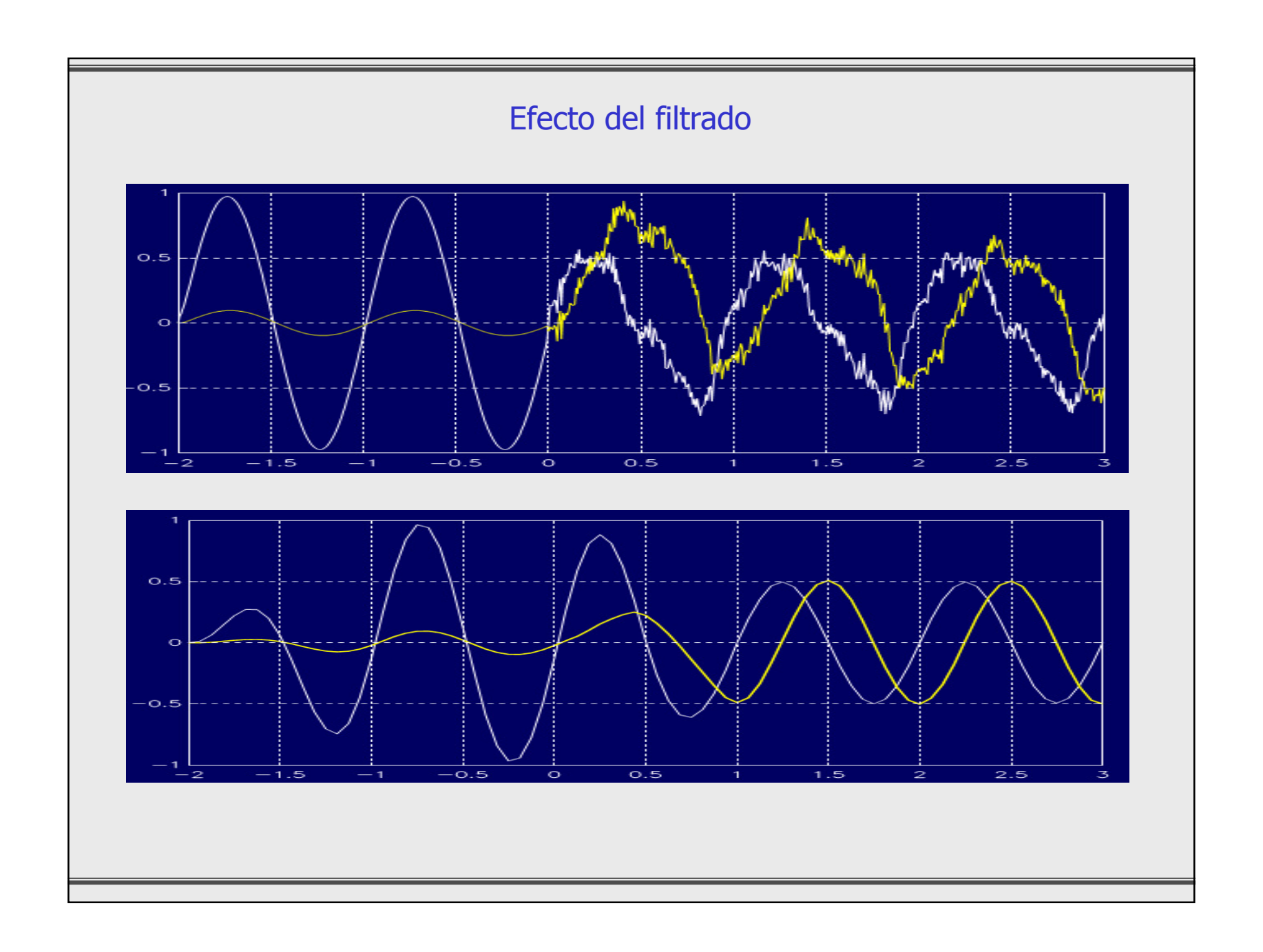












Relevador de protección

Relevadores que responden a la componente fundamental

- Relevador de sobrecorriente (50,51)
- Relevador de distancia (21)
- Relevador diferencial (87)

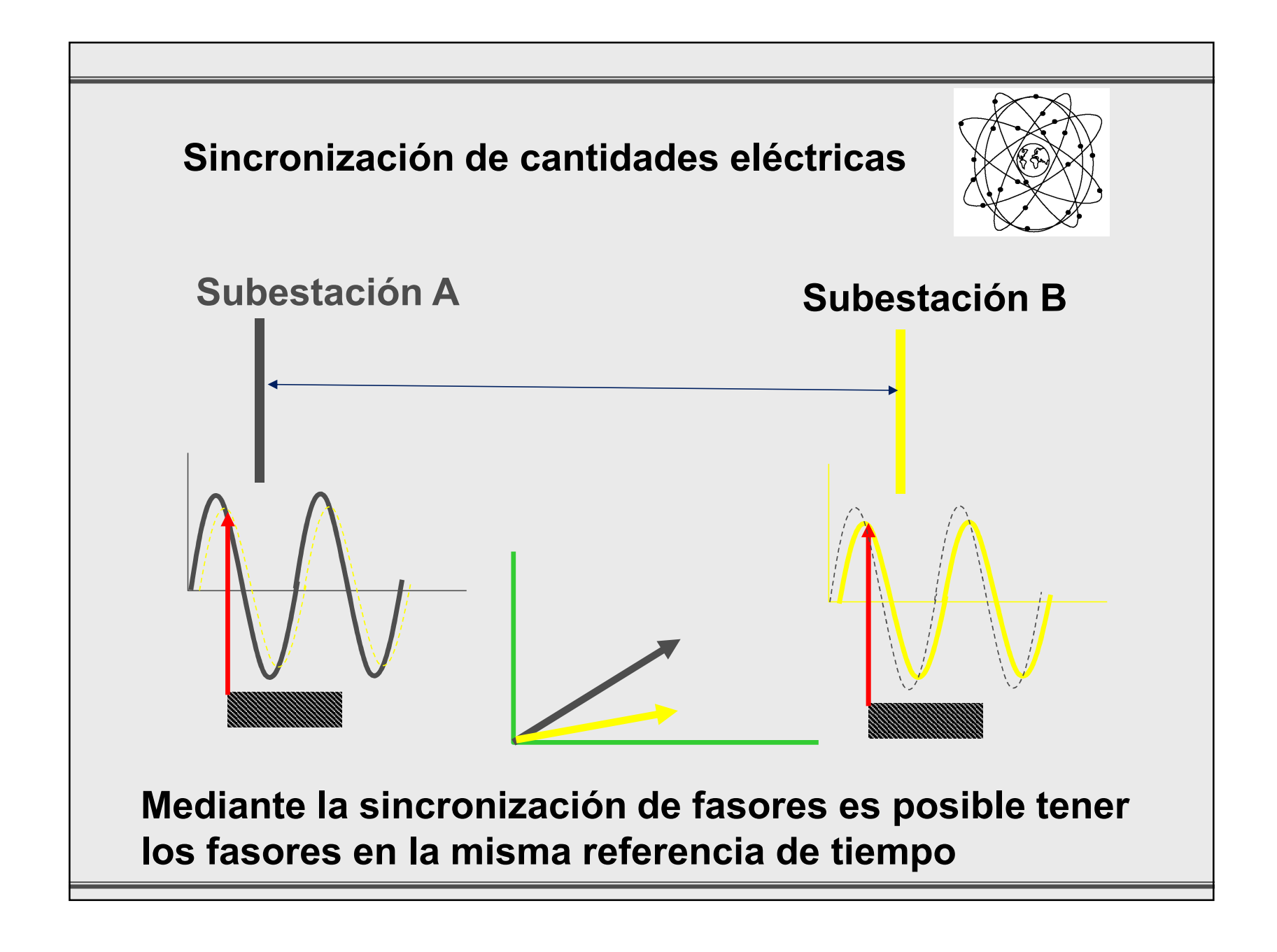
Relevadores que responden a componentes armónicas

• Relevador diferencial con retención por armónicas (3a y 5a)

Relevadores que responden a componentes transitorias

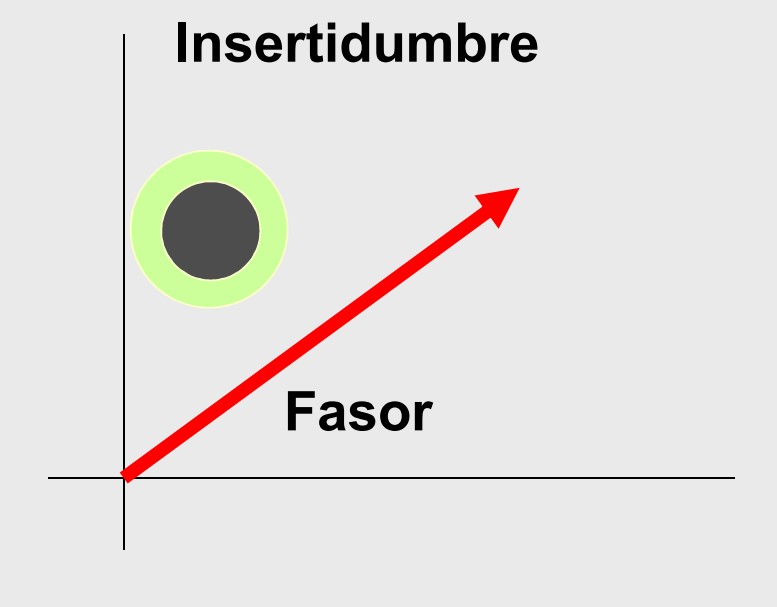
• Relevadores de onda viajera





Fuentes de inexactitud en los cálculos de un fasor

- Efecto de Alliasing
- Interarmónicas
- Ruido



Unidad de medición fasorial One pulse per second Second Of GPS receiver Century Analog Counter_ Inputs Phase-locked Modem oscillator Phasor Anti-aliasing A/D conv. microfilters processor

